

建設省土木研究所 正員 岩崎敏男
 ハ 常田賢一
 ハ ○吉田精一

はじめに

粘性土の動的せん断変形特性(せん断剛性率G, 減衰定数δとせん断ひずみεの関係)を得るために試験機はこれまで各種提案され実績も多數報告されている。^{1)~3)}筆者らもせん断ひずみレベルにより共振法土質試験機($10^6 < \dot{\gamma} < 5 \times 10^{-4}$)と振動三軸試験機($5 \times 10^{-4} < \dot{\gamma} < 2 \times 10^{-2}$)を使い分けて変形特性に関する研究を実施して来たが⁴⁾両試験機による結果を結びつけるにはやや無理であることが指摘されるのが遺憾である。この原因として試験機の載荷機構及び、その算出方法の相違があげられる。そこでこのような問題を解決すべく、広範囲な粘性土の動的せん断変形特性を求めるための直接ねじりせん断型の試験機(以下ねじりと略す)を開発したのでその紹介及び従来の共振法土質試験機、振動三軸試験機との比較実験の結果を報告する。

実験方法

ねじり試験機の構造概要図を図-1に示す。供試体寸法は、 $70\phi \times 1000$ 中央供試体(中栓も可)である。せん断載荷の機構は供試体の下部を固定し、上部を円弧運動可能な加振器で円周方向にねじり(静的及び動的に)せん断力を与える。今回は、0.3Hzの正弦波で10段ずつ応力を変化させた応力制御(トルク力制御)で変形試験を行った。Gへの算出方法はセル内の供試体直近に設置したトルク計及び回転角計により、せん断応力、せん断ひずみを求め、それからGの値を算出した。減衰はト

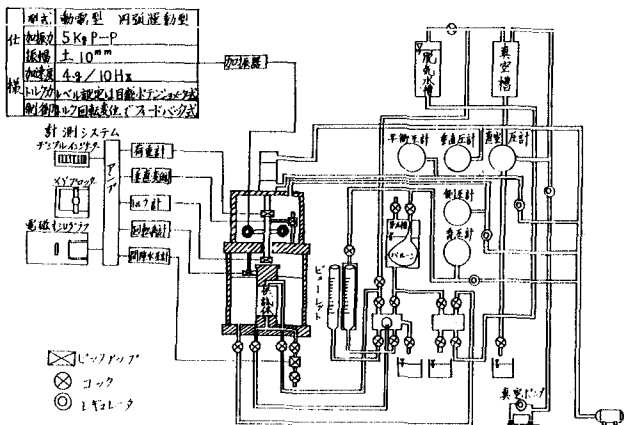


図-1 ねじり試験機の構造概要図

No.	試験名	試験機	G^{\prime} (kg/cm²)	ϵ	δ_s	I_p (%)	結果
1	東	25-② 振動三軸	3.8	1.078			
2	東	25-③ 天端法	3.9	0.324			
3	東	25-④ ねじり	2.9	1.173			
4	川	25-⑤ 天端法	3.9	0.350			
5	PA	25-⑥ ねじり	3.9	0.320			
6	東	4-3-① ねじり	1.0	1.440			
7	東	4-3-② 天端法	1.0	1.392			
8	東	4-3-③ 振動三軸	1.0	1.593			
9	福	4-4-① ねじり	1.0	—			
10	上	4-4-② 天端法	1.0	1.399			
11	上	4-4-③ 振動三軸	1.0	1.436			
12	—	1-1-① ねじり	0.3	1.513			
13	新	1-1-② 天端法	0.3	1.367			
14	新	1-1-③ 振動三軸	0.3	1.827			
15	福	1-2-① ねじり	0.3	1.559			
16	福	1-2-② 天端法	0.3	1.352			
17	福	1-2-③ 振動三軸	0.3	1.552			
18	—	1-3-① ねじり	0.3	1.167			
19	—	1-3-② 天端法	0.3	1.053			
20	—	1-3-③ 振動三軸	0.3	1.251			

表-1 実験対象試料一覧

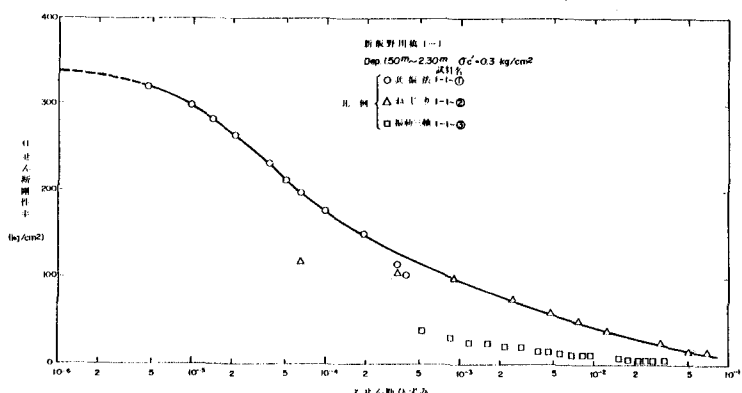


図-2 新飯野川試料1-1における比較実験結果

ルク力と回転角によるヒステリシスループから求めた。実験対象試料は表-1に示す不擾乱粘性土であり、同一ライナーの試料を切断して供試体で共振法、振動三軸、ねじり試験機にセッティングし、同一拘束圧条件で圧密し実験を行なった。

実験結果及び考察

実験結果の一例として新飯野川試料1及び東京湾海成粘土に対する実験結果の比較を図-2, 3に示す。

実線はねじりの結果を基本とした平均線である。ねじりの η 値は共振法、振動三軸の中間に位置する傾向がある。図-4は今回の実験の対象試料について G/G_0 ($G_0 = \{G\}_0 = 10^{-4}$) への曲線をヒヤリまとめたものである。東京湾海成粘土の他は、以降傾向を示す。なお、ねじりの結果を基本とした G/G_0 への曲線は、従来の共振法、振動三軸による結果よりかによる低減の度合が大きい傾向を示す。これが物理特性によるものとも考えられるが、現在物理特性試験を実施中であり、明らかでない。図-5は今回の実験におけるねじりと振動三軸の減衰 η との関係を示したものであるが、従来の振動三軸の結果と類似の傾向を示すと考えられる。

あとがき

今回開発したねじり型の試験機による動的変形特性は従来の当所で得られた共振法、振動三軸の結果と大略同様の傾向を示すことがわかった。原理的にせん断過程を忠実に反映できるこのせん断ねじり型の試験機は、測定ひずみレベル範囲が 5×10^{-5} から 10^{-2} 程度といないので、動的変形特性の測定により適していると考えられる。今後はさらに実験を重ねデータの蓄積をはかる予定である。

参考文献

- 著、梅原、猪田、“Laboratory Tests and In-Situ Seismic Survey on Vibratory Shear Modulus of Clayey Soils with Various Plasticities” Proc. of the 5th J.E.S.-1978, Nov. 1978, Tokyo, Japan
- 小笠原、谷口、佐々木“粘土のせん断弹性係数と間げき比の関係” 1980年6月、第16回国土質工学研究発表会
- 田生、桜井、江利“三軸試験装置を用いた微小ひずみでの土質動的試験法の開発と砂の物性試験への適用” 1979年6月、第14回国土質工学研究発表会
- “非擾乱粘性土の動的変形特性” 土木研究所資料第1504号

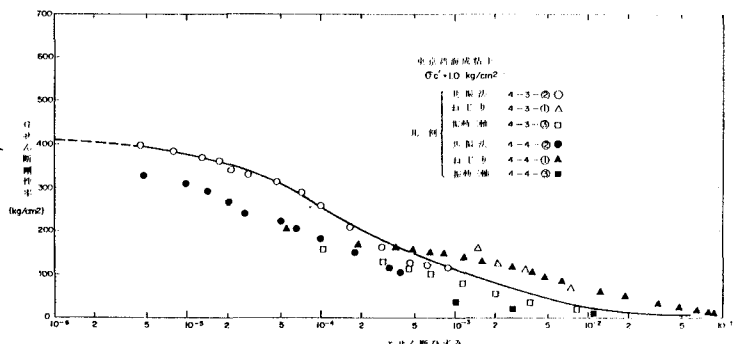


図-2 東京湾海成粘土における G ～ η の比較実験結果

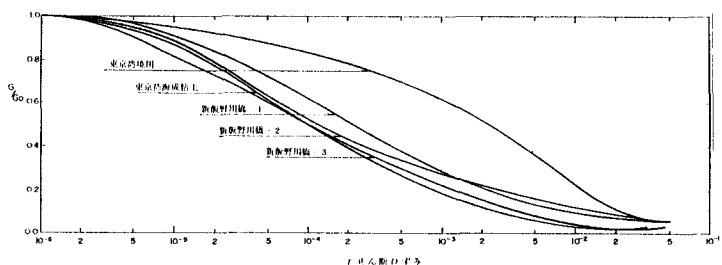


図-3 ねじりの結果を基本にして G/G_0 ～ η

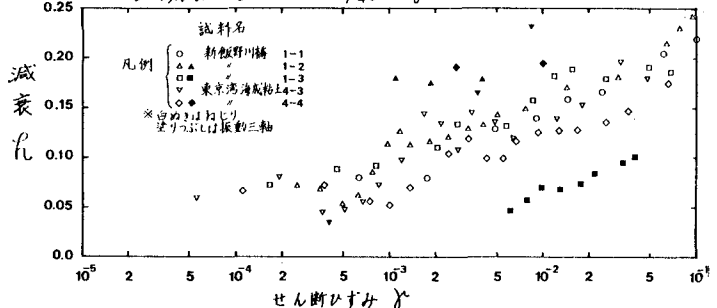


図-4 振動三軸、ねじりの η ～ η の比較実験結果